

07,12

Аналитическое выражение для распределения упругой деформации, создаваемой включением в форме многогранника с произвольной собственной деформацией

© А.В. Ненашев¹, А.В. Двуреченский²

¹ Институт физики полупроводников им. А.В. Ржанова СО РАН, Новосибирск, Россия

² Новосибирский государственный университет, Новосибирск, Россия

E-mail: nenashev@isp.nsc.ru

(Поступила в Редакцию 28 февраля 2018 г.)

Получены аналитические выражения для вектора смещения, тензора деформации и тензора Эшелби в случае, когда включение в упруго-изотропной бесконечной среде имеет форму многогранника. Собственная деформация (например, рассогласование кристаллических решеток) предполагается постоянной внутри включения, но не обязательно гидростатической. Найденные выражения описывают деформацию как внутри включения, так и в его окружении. Показано, что сложная трехмерная конфигурация поля упругой деформации (а также вектора смещения) сводится к комбинации простых функций, имеющих наглядную физическую и геометрическую интерпретацию.

Работа профинансирована Российским научным фондом (грант 14-12-00931 П).

DOI: 10.21883/FTT.2018.09.46394.053

1. Введение

Круг задач, связанных с распределением деформации, индуцированной включением в упругой среде, изучается в течение более чем полувека [1,2], однако и в настоящее время появляются новые результаты (обзор современного состояния можно найти в работах [3–6]). Одним из важных применений задачи о включении является исследование электронных свойств полупроводниковых *квантовых точек*, образующихся в процессе эпитаксиального роста [7–10]. Деформации изменяют положение краев энергетических зон в полупроводниках [11,12] и тем самым модифицируют энергетический спектр носителей заряда. Особенно ярко этот эффект проявляется в гетеросистемах 2-го типа, таких как германий–кремний, где деформация приводит к возникновению потенциальных ям для электронов в окрестности Ge квантовых точек [10–13].

Источником деформации в полупроводниковых гетеросистемах является разница между постоянными решетками включения (*I*) и матрицы (*M*), как схематично показано на рис. 1, *a*. Это различие можно интерпретировать как наличие *собственной деформации* $\varepsilon_{ij}^{(0)}$ в материале включения, равной

$$\varepsilon_{xx}^{(0)} = \varepsilon_{yy}^{(0)} = \varepsilon_{zz}^{(0)} = \frac{a_I - a_M}{a_M},$$

$$\varepsilon_{xy}^{(0)} = \varepsilon_{xz}^{(0)} = \varepsilon_{yz}^{(0)} = 0, \quad (1)$$

где a_M и a_I — равновесные параметры решеток матрицы и включения. Когда включение оказывается встроенным

в матрицу, происходит перераспределение деформации, которое можно описать как перемещение материала $\mathbf{u}(\mathbf{r})$ под действием сил, приложенных к границе включения, см. рис. 1, *c*.

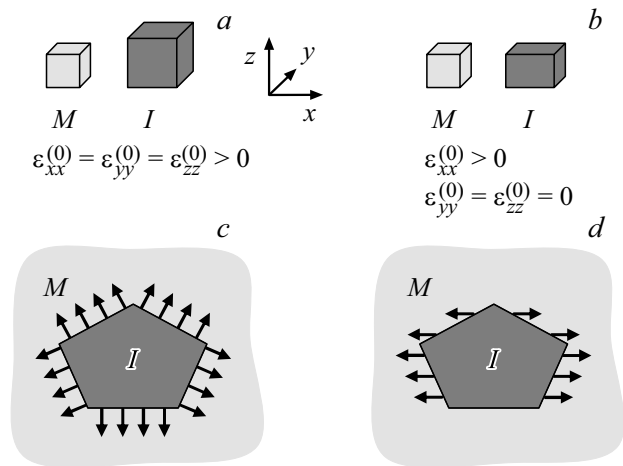


Рис. 1. Иллюстрация различия между гидростатической (*a, c*) и негидростатической (*b, d*) собственной деформацией. *a* — элементарный объем матрицы (*M*) и включения (*I*) в релаксированном состоянии в случае гидростатической собственной деформации (материал включения растянут по всем трем направлениям); *b* — то же для негидростатической собственной деформации, в частном случае когда материал включения растянут только по оси *X*. Для наглядности растяжение преувеличено; *c, d* — поверхностные силы, действие которых описывает упругую релаксацию системы „матрица + включение“, в случае гидростатической (*c*) и негидростатической (*d*) собственной деформации.

На рис. 1, *a, c* показан случай гидростатической (дилатационной) собственной деформации, когда тензор $\varepsilon_{ij}^{(0)}$ изотропен (как в случае рассогласования решеток между кубическими полупроводниками). Рис. 1, *b, d* демонстрирует пример негидростатической собственной деформации. В этом иллюстративном примере различие между параметрами решетки двух сред имеет место только в направлении оси X . Случай негидростатической собственной деформации, помимо самостоятельного значения, возникает в задаче об упругой *неоднородности* (т.е. включения с модулями упругости, отличными от соответствующих модулей матрицы) как поправка по теории возмущений в рамках метода эффективного включения [14,15].

Целью настоящего исследования является разработка аналитического метода для нахождения пространственного распределения деформации $\varepsilon_{ij}(\mathbf{r})$, создаваемой включением, имеющим форму *произвольного многогранника*, с произвольной (гидростатической или негидростатической) собственной деформацией $\varepsilon_{ij}^{(0)}$. Материалы матрицы и включения предполагаются упругоизотропными и имеющими одинаковые модули упругости. Для простоты мы рассмотрим лишь случай *постоянной собственной деформации*. Это, однако, не является ограничением метода: результаты нашей предыдущей работы [5] позволяют обобщить рассмотрение на случай плавно меняющейся в пространстве (полиномиальным образом) собственной деформации. В литературе имеются аналитические решения для случая постоянной собственной деформации [16,17], однако они чрезвычайно сложны и не допускают непосредственного обобщения на случай зависящей от координат собственной деформации. Между тем последний случай важен, во-первых, потому что реальные включения (такие как полупроводниковые квантовые точки) часто имеют плавно меняющийся в пространстве состав [18–20], а во-вторых, потому что задача с переменной собственной деформацией возникает при использовании упомянутого выше метода эффективного включения.

2. Теория

Математическая постановка задачи выглядит следующим образом. Тензор деформации ε_{ij} как функция координат выражается в виде

$$\varepsilon_{ij}(\mathbf{r}) = \frac{1}{2} \left(\frac{\partial u_i(\mathbf{r})}{\partial r_j} + \frac{\partial u_j(\mathbf{r})}{\partial r_i} \right) - \varepsilon_{ij}^{(0)} \chi(\mathbf{r}), \quad (2)$$

где $\chi(\mathbf{r}) = 1$ внутри включения и $\chi(\mathbf{r}) = 0$ снаружи. Итоговое распределение деформации определяется уравнениями равновесия, которые имеют вид

$$\frac{\partial \sigma_{ij}(\mathbf{r})}{\partial r_j} = 0, \quad (3)$$

где σ_{ij} — тензор напряжений, выражаемый через тензор деформации ε_{ij} и упругие константы (коэффициенты Ламэ) λ и μ посредством закона Гука

$$\sigma_{ij}(\mathbf{r}) = \lambda \delta_{ij} \varepsilon_{mm}(\mathbf{r}) + 2\mu \varepsilon_{ij}(\mathbf{r}). \quad (4)$$

Как показано в классической работе Эшелби [1], решение уравнений равновесия в данном случае есть комбинация производных от ньютоновского потенциала $\varphi(\mathbf{r})$, создаваемого в точке \mathbf{r} притягивающим веществом, однородно заполняющим объем включения

$$\varphi(\mathbf{r}) = \iiint_V \frac{dV'}{|\mathbf{r} - \mathbf{r}'|}, \quad (5)$$

и производных „бигармонического потенциала“ $U(\mathbf{r})$, определяемого как

$$U(\mathbf{r}) = \iiint_V |\mathbf{r} - \mathbf{r}'| dV'. \quad (6)$$

Согласно [1], вектор смещения $\mathbf{u}(\mathbf{r})$ равен

$$u_i(\mathbf{r}) = -\frac{\sigma_{jk}^{(0)}}{16\pi\mu} \left(4\delta_{ij} \frac{\partial \varphi(\mathbf{r})}{\partial r_k} - \frac{1}{1-\nu} \frac{\partial^3 U(\mathbf{r})}{\partial r_i \partial r_j \partial r_k} \right), \quad (7)$$

где $\sigma_{ij}^{(0)}$ — тензор напряжений, соответствующий собственной деформации $\varepsilon_{ij}^{(0)}$ согласно (4), а ν — коэффициент Пуассона. Выражая $\sigma_{ij}^{(0)}$ через $\varepsilon_{ij}^{(0)}$ и учитывая, что $\varphi = \frac{1}{2} \Delta U$ и $\lambda = 2\mu\nu/(1-2\nu)$, получим

$$u_i(\mathbf{r}) = -\frac{1}{8\pi} \left[2\varepsilon_{ik}^{(0)} U_{,kll}(\mathbf{r}) + \frac{\nu}{1-\nu} \varepsilon_{kk}^{(0)} U_{,ill}(\mathbf{r}) - \frac{1}{1-\nu} \varepsilon_{kl}^{(0)} U_{,ikl}(\mathbf{r}) \right]. \quad (8)$$

(Здесь мы используем сокращенное обозначение $U_{,ijk}$ для производных $\partial^3 U / \partial r_i \partial r_j \partial r_k$.) Видно, что компоненты вектора смещения \mathbf{u} являются линейными комбинациями *третьих* производных „бигармонического потенциала“ U .

Подставляя (8) в (2), находим, что компоненты тензора деформации ε_{ij} представляются в виде комбинаций *четвертых* производных от U

$$\varepsilon_{ij}(\mathbf{r}) = -\frac{1}{8\pi} \left(\varepsilon_{ik}^{(0)} U_{,jkll} + \varepsilon_{jk}^{(0)} U_{,ikll} + \frac{\nu}{1-\nu} \varepsilon_{kk}^{(0)} U_{,ijll} - \frac{1}{1-\nu} \varepsilon_{kl}^{(0)} U_{,ijkl} \right) - \varepsilon_{ij}^{(0)} \chi(\mathbf{r}). \quad (9)$$

Коэффициенты пропорциональности между компонентами тензоров ε_{ij} и $\varepsilon_{kl}^{(0)}$ составляют так называемый тензор Эшелби S_{ijkl} , симметричный по первой и по второй парам индексов:

$$\varepsilon_{ij}(\mathbf{r}) = S_{ijkl}(\mathbf{r}) \varepsilon_{kl}^{(0)} - \chi(\mathbf{r}) \varepsilon_{ij}^{(0)}. \quad (10)$$

Сравнивая (9) с (10), находим следующее выражение для тензора S_{ijkl} через производные U

$$S_{ijkl}(\mathbf{r}) = -\frac{1}{8\pi} \left[\frac{1}{2} (\delta_{ik} U_{,jlm} + \delta_{jk} U_{,ilm} + \delta_{il} U_{,jkm} + \delta_{jl} U_{,ikm}) + \frac{\nu}{1-\nu} \delta_{kl} U_{,ijm} - \frac{1}{1-\nu} U_{,ijkl} \right]. \quad (11)$$

Итак, вычисление вектора смещения $\mathbf{u}(\mathbf{r})$, тензора деформации $\varepsilon_{ij}(\mathbf{r})$ и тензора Эшелби $S_{ijkl}(\mathbf{r})$ сводится к нахождению аналитических выражений для третьих и четвертых производных потенциала $U(\mathbf{r})$. В настоящей работе получены такие аналитические выражения (30) и (33), имеющие достаточно простой и компактный вид, для случая включения в форме многогранника.

Для этого мы применили метод, использованный нами в работах [21,5] и аналогичный методу Кувшинова [4]. А именно, мы представили требуемые выражения в виде комбинаций некоторых достаточно простых двумерных и одномерных интегралов по граням и ребрам поверхности включения. Для целей данной работы нам понадобятся следующие интегралы (индекс α нумерует грани, β — ребра, а γ — вершины поверхности)

$$\tilde{\Phi}_\alpha(\mathbf{r}) = \iint_{\text{on facet } \alpha} |\mathbf{r} - \mathbf{r}'| dS', \quad (12)$$

где dS' — элемент площади грани, по которой пробегает вектор \mathbf{r}' ,

$$\Phi_\alpha(\mathbf{r}) = \iint_{\text{on facet } \alpha} \frac{1}{|\mathbf{r} - \mathbf{r}'|} dS', \quad (13)$$

$$\Omega_\alpha(\mathbf{r}) = \iint_{\text{on facet } \alpha} \frac{(\mathbf{r} - \mathbf{r}') \cdot \mathbf{n}_\alpha}{|\mathbf{r} - \mathbf{r}'|^3} dS', \quad (14)$$

где \mathbf{n}_α — единичный вектор, направленный по нормали к грани α изнутри включения наружу (см. рис. 2),

$$\tilde{L}_\beta(\mathbf{r}) = \int_{\text{on edge } \beta} |\mathbf{r} - \mathbf{r}'| dl', \quad (15)$$

где dl' — элемент длины ребра, по которому пробегает вектор \mathbf{r}' ,

$$L_\beta(\mathbf{r}) = \int_{\text{on edge } \beta} \frac{1}{|\mathbf{r} - \mathbf{r}'|} dl', \quad (16)$$

$$\Lambda_\beta(\mathbf{r}) = \int_{\text{on edge } \beta} \frac{1}{|\mathbf{r} - \mathbf{r}'|^3} dl'. \quad (17)$$

Покажем теперь, что третьи и четвертые производные потенциала $U(\mathbf{r})$ являются комбинациями интегралов Ω_α , L_β и Λ_β , для которых известны простые аналитические выражения. Для этого, помимо обозначения \mathbf{n}_α для вектора нормали к грани α , введем обозначения $\mathbf{b}_{\alpha\beta}$ для единичного вектора, направленного „изнутри наружу“

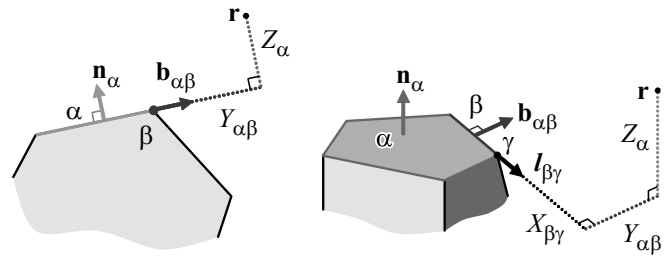


Рис. 2. Единичные векторы \mathbf{n}_α , $\mathbf{b}_{\alpha\beta}$, $\mathbf{l}_{\beta\gamma}$ и компоненты радиус-вектора $X_{\beta\gamma}$, $Y_{\alpha\beta}$, Z_α : проекция на плоскость, перпендикулярную ребру β (слева) и вид сбоку (справа). \mathbf{n}_α — нормаль к грани α ; $\mathbf{b}_{\alpha\beta}$ — вектор, перпендикулярный к ребру β и лежащий в плоскости грани α ; $\mathbf{l}_{\beta\gamma}$ — вектор вдоль ребра β , направленный к вершине γ от противоположной ей вершины.

грани α перпендикулярно к смежному с ней ребру β ; и $\mathbf{l}_{\beta\gamma}$ для единичного вектора вдоль ребра β , выходящего из него в вершине γ (рис. 2). Обозначим также через Z_α , $Y_{\alpha\beta}$, $X_{\beta\gamma}$ проекции радиус-вектора \mathbf{r} , взятого относительно соответствующих элементов многогранника, на единичные векторы \mathbf{n}_α , $\mathbf{b}_{\alpha\beta}$, $\mathbf{l}_{\beta\gamma}$:

$$Z_\alpha(\mathbf{r}) = (\mathbf{r} - \mathbf{r}_\alpha) \cdot \mathbf{n}_\alpha, \quad (18)$$

$$Y_{\alpha\beta}(\mathbf{r}) = (\mathbf{r} - \mathbf{r}_\beta) \cdot \mathbf{b}_{\alpha\beta}, \quad (19)$$

$$X_{\beta\gamma}(\mathbf{r}) = (\mathbf{r} - \mathbf{r}_\gamma) \cdot \mathbf{l}_{\beta\gamma}, \quad (20)$$

где \mathbf{r}_α , \mathbf{r}_β , \mathbf{r}_γ — радиус-векторы произвольно выбранных точек на грани α и ребре β и радиус-вектор вершины γ соответственно. Проекцию вектора $\mathbf{r} - \mathbf{r}_\beta$ на плоскость, перпендикулярную ребру β , обозначим $\mathbf{R}_{\perp\beta}$

$$\mathbf{R}_{\perp\beta}(\mathbf{r}) = Z_\alpha \mathbf{n}_\alpha + Y_{\alpha\beta} \mathbf{b}_{\alpha\beta} = \mathbf{r} - \mathbf{r}_\beta - [(\mathbf{r} - \mathbf{r}_\beta) \cdot \mathbf{l}_{\beta\gamma}] \mathbf{l}_{\beta\gamma}. \quad (21)$$

С помощью этих обозначений производные по \mathbf{r} от интегралов U , $\tilde{\Phi}$, Φ , \tilde{L} , L , Ω выражаются в следующем виде:

$$\frac{\partial U(\mathbf{r})}{\partial \mathbf{r}} = - \sum_{\alpha} \mathbf{n}_\alpha \tilde{\Phi}_\alpha, \quad (22)$$

где суммирование идет по всем граням поверхности включения;

$$\frac{\partial \tilde{\Phi}_\alpha}{\partial \mathbf{r}} = \mathbf{n}_\alpha Z_\alpha \Phi_\alpha - \sum_{\beta} \mathbf{b}_{\alpha\beta} \tilde{L}_\beta, \quad (23)$$

$$\frac{\partial \Phi_\alpha}{\partial \mathbf{r}} = -\mathbf{n}_\alpha \Omega_\alpha - \sum_{\beta} \mathbf{b}_{\alpha\beta} L_\beta, \quad (24)$$

$$\frac{\partial (Z_\alpha \Omega_\alpha)}{\partial \mathbf{r}} = \mathbf{n}_\alpha \Omega_\alpha + Z_\alpha \sum_{\beta} (\mathbf{n}_\alpha Y_{\alpha\beta} - \mathbf{b}_{\alpha\beta} Z_\alpha) \Lambda_\beta, \quad (25)$$

где индекс β пробегает по ребрам, окружающим грань α ;

$$\frac{\partial \tilde{L}_\beta}{\partial \mathbf{r}} = \mathbf{R}_{\perp\beta} L_\beta - \sum_{\gamma} \mathbf{l}_{\beta\gamma} |\mathbf{r} - \mathbf{r}_\gamma|, \quad (26)$$

$$\frac{\partial L_\beta}{\partial \mathbf{r}} = -\mathbf{R}_{\perp\beta} \Lambda_\beta - \sum_{\gamma} \frac{\mathbf{l}_{\beta\gamma}}{|\mathbf{r} - \mathbf{r}_\gamma|}, \quad (27)$$

где индекс γ пробегает по двум вершинам, ограничивающим ребро β ;

$$\frac{\partial |\mathbf{r} - \mathbf{r}_\gamma|}{\partial \mathbf{r}} = \frac{\mathbf{r} - \mathbf{r}_\gamma}{|\mathbf{r} - \mathbf{r}_\gamma|}. \quad (28)$$

Кроме того, как следует из формулы (55) в работе [5], интеграл Φ_α сводится к комбинации величин Ω_α и L_β :

$$\Phi_\alpha = -Z_\alpha \Omega_\alpha - \sum_\beta Y_{\alpha\beta} L_\beta, \quad (29)$$

где сумма пробегает по ребрам, окружающим грань α .

Применяя последовательно формулы (22)–(24), (26), (29), легко найти выражение для третьих производных $U_{,ijk} \equiv \partial^3 U / \partial r_i \partial r_j \partial r_k$ потенциала $U(\mathbf{r})$

$$U_{,ijk}(\mathbf{r}) = \sum_\alpha 2n_{\alpha i} n_{\alpha j} n_{\alpha k} Z_\alpha \Omega_\alpha + \sum_\beta P_{ijkl}^{(\beta)}(\mathbf{r} - \mathbf{r}_\beta)_l L_\beta + \sum_\gamma q_{ijk}^{(\gamma)} |\mathbf{r} - \mathbf{r}_\gamma|. \quad (30)$$

Здесь индексы α, β, γ пробегает по всем граням, ребрам и вершинам многогранника, соответственно. Тензоры $P_{ijkl}^{(\beta)}$ и $q_{ijk}^{(\gamma)}$ не зависят от \mathbf{r} и выражаются следующим образом через единичные векторы $\mathbf{n}, \mathbf{b}, \mathbf{l}$:

$$P_{ijkl}^{(\beta)} = \sum_\alpha [n_{\alpha i} n_{\alpha j} (n_{\alpha k} b_{\alpha l} + b_{\alpha k} n_{\alpha l}) + n_{\alpha i} b_{\alpha j} (n_{\alpha k} n_{\alpha l} + b_{\alpha k} b_{\alpha l})], \quad (31)$$

где суммирование происходит по двум граням, сходящимся в ребре β ;

$$q_{ijk}^{(\gamma)} = - \sum_{(\alpha, \beta)} n_{\alpha i} b_{\alpha j} l_{\beta \gamma k}, \quad (32)$$

где суммирование имеет место по парам „грань + смежное с ней ребро“ таким, что и грань и ребро проходят через вершину γ .

Аналогично, используя (22)–(28), найдем четвертые производные потенциала U

$$U_{,ijkl}(\mathbf{r}) = \sum_\alpha 2n_{\alpha i} n_{\alpha j} n_{\alpha k} n_{\alpha l} \Omega_\alpha + \sum_\beta P_{ijkl}^{(\beta)} L_\beta + \sum_\beta v_{ijklmn}^{(\beta)} (\mathbf{r} - \mathbf{r}_\beta)_m (\mathbf{r} - \mathbf{r}_\beta)_n \Lambda_\beta + \sum_\gamma w_{ijklm}^{(\gamma)} \frac{(\mathbf{r} - \mathbf{r}_\gamma)_m}{|\mathbf{r} - \mathbf{r}_\gamma|}. \quad (33)$$

Входящие в эту формулу тензоры $P_{ijkl}^{(\beta)}$, $v_{ijklmn}^{(\beta)}$ и $w_{ijklm}^{(\gamma)}$ не зависят от \mathbf{r} и являются комбинациями единичных

векторов $\mathbf{n}, \mathbf{b}, \mathbf{l}$

$$v_{ijklmn}^{(\beta)} = \sum_\alpha n_{\alpha i} \left\{ n_{\alpha j} n_{\alpha k} n_{\alpha m} (n_{\alpha l} b_{\alpha n} - b_{\alpha l} n_{\alpha n}) - [n_{\alpha j} b_{\alpha \beta k} n_{\alpha m} + b_{\alpha \beta j} (n_{\alpha k} n_{\alpha m} + b_{\alpha \beta k} b_{\alpha \beta m})] \times (n_{\alpha l} n_{\alpha n} + b_{\alpha \beta l} b_{\alpha \beta n}) \right\}, \quad (34)$$

$$w_{ijklm}^{(\gamma)} = - \sum_{(\alpha, \beta)} n_{\alpha i} [n_{\alpha j} b_{\alpha \beta k} l_{\beta \gamma l} n_{\alpha m} + b_{\alpha \beta j} l_{\beta \gamma k} \delta_{lm} + b_{\alpha \beta j} l_{\beta \gamma l} (n_{\alpha k} n_{\alpha m} + b_{\alpha \beta k} b_{\alpha \beta m})]. \quad (35)$$

Суммирование в (34) и (35) происходит по тому же принципу, что и в (31) и (32) соответственно. Тензор $P_{ijkl}^{(\beta)}$ был определен выше.

Последнее, что необходимо сделать, — это выразить величины $\Omega_\alpha(\mathbf{r})$, $L_\beta(\mathbf{r})$ и $\Lambda_\beta(\mathbf{r})$, фигурирующие в (30) и (33), через элементарные функции. Этим величинам можно придать следующий наглядный смысл. $L_\beta(\mathbf{r})$ — это кулоновский потенциал, создаваемый равномерно заряженным (с единичной плотностью) ребром β в точке \mathbf{r} . $\Lambda_\beta(\mathbf{r})$ отличается от $L_\beta(\mathbf{r})$ тем, что „потенциал взаимодействия“ убывает с расстоянием как r^{-3} , а не как r^{-1} . Одномерные интегралы L_β и Λ_β вычисляются элементарно

$$L_\beta(\mathbf{r}) = \ln \frac{|\mathbf{r} - \mathbf{r}_{\gamma_1}| + |\mathbf{r} - \mathbf{r}_{\gamma_2}| + |\mathbf{r}_{\gamma_1} - \mathbf{r}_{\gamma_2}|}{|\mathbf{r} - \mathbf{r}_{\gamma_1}| + |\mathbf{r} - \mathbf{r}_{\gamma_2}| - |\mathbf{r}_{\gamma_1} - \mathbf{r}_{\gamma_2}|}, \quad (36)$$

$$\Lambda_\beta(\mathbf{r}) = - \frac{1}{(\mathbf{R}_{\perp \beta})^2} \left(\frac{X_{\beta \gamma_1}}{|\mathbf{r} - \mathbf{r}_{\gamma_1}|} + \frac{X_{\beta \gamma_2}}{|\mathbf{r} - \mathbf{r}_{\gamma_2}|} \right), \quad (37)$$

где индексы γ_1 и γ_2 относятся к двум вершинам, ограничивающим ребро β ; \mathbf{r}_{γ_1} и \mathbf{r}_{γ_2} — радиус-векторы этих вершин. Наконец, $\Omega_\alpha(\mathbf{r})$ — это потенциал в точке \mathbf{r} , создаваемый дипольным слоем, равномерно распределенным по грани α (дипольный момент направлен в сторону нормали \mathbf{n}_α). Как известно [22], модуль этой величины $|\Omega_\alpha(\mathbf{r})|$ равен телесному углу, под которым видна грань α из точки \mathbf{r} . Знак $\Omega_\alpha(\mathbf{r})$ равен знаку Z_α , т.е. положителен, если точка \mathbf{r} находится с той стороны от грани α , в которую направлена нормаль \mathbf{n}_α , и отрицателен в противном случае. Явные выражения для $\Omega_\alpha(\mathbf{r})$ через элементарные (обратные тригонометрические) функции можно найти в [23–25] для треугольной грани и в [25] для прямоугольной грани. Грань более сложной формы можно разбить на треугольники, либо воспользоваться методом вычисления из работы [24].

3. Пример

На рис. 3 показан пример вычисления вектора смещения $\mathbf{u}(\mathbf{r})$, тензора деформации $\epsilon_{ij}(\mathbf{r})$ и тензора напряжений $\sigma_{ij}(\mathbf{r})$ с помощью полученных нами аналитических выражений.

В качестве модельной структуры взято включение пирамидальной формы с квадратным основанием

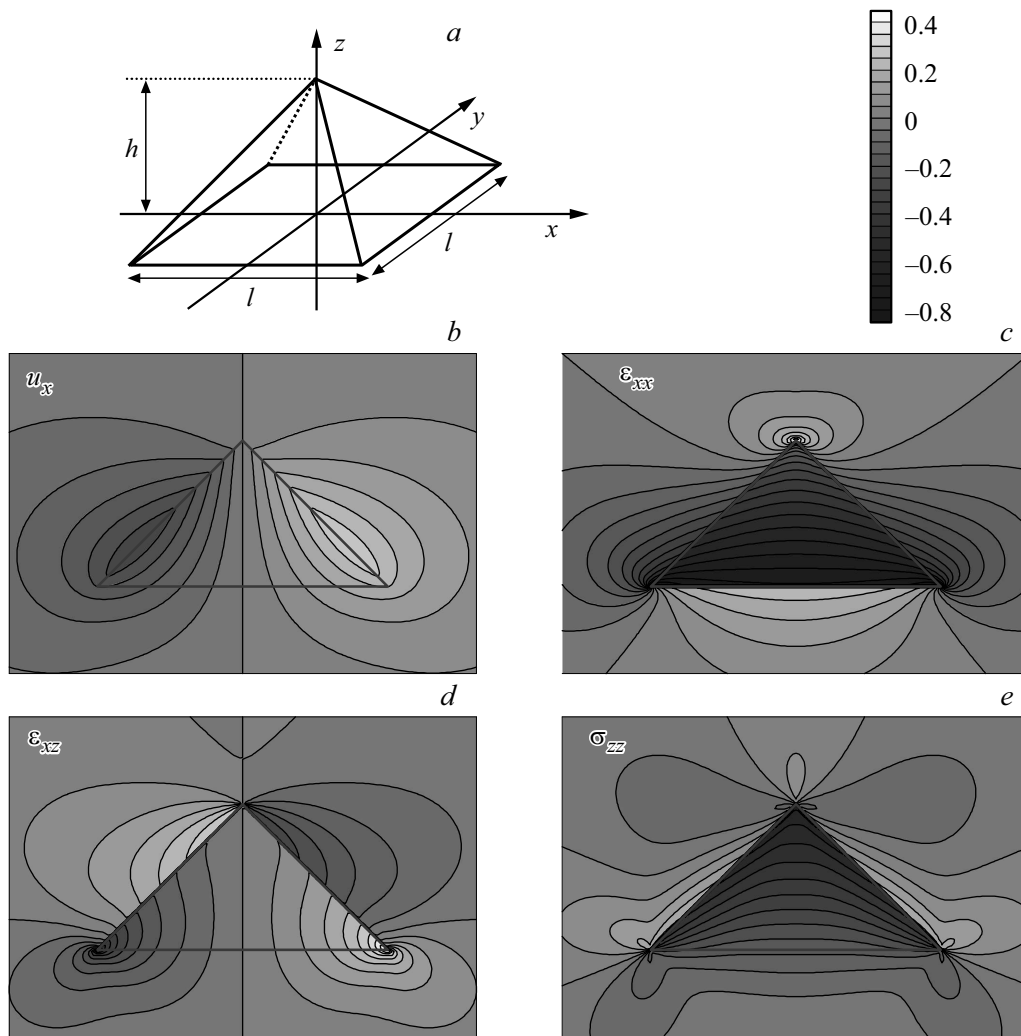


Рис. 3. Компоненты вектора смещения $\mathbf{u}_x(\mathbf{r})$, тензора деформации $\epsilon_{xx}(\mathbf{r})$, $\epsilon_{xy}(\mathbf{r})$ и тензора напряжений $\sigma_{zz}(\mathbf{r})$ для включения пирамидальной формы с собственной деформацией, имеющей характер растяжения по оси X ($\epsilon_{xx}^{(0)} > 0$, остальные компоненты $\epsilon_{ij}^{(0)}$ равны нулю). Указанные компоненты приведены в сечении плоскостью $y = 0$, темным треугольником показана граница включения. Значения тензора деформации нормированы на $\epsilon_{xx}^{(0)}$, тензора напряжений — на $\mu\epsilon_{xx}^{(0)}$, вектора смещения — на $h\epsilon_{xx}^{(0)}$.

(рис. 3, *a*). Размер основания l и высота пирамиды h соотносятся как $l = 2h$. Коэффициент Пуассона ν принят равным 0.25. Как и на рис. 1, *b, d*, собственная деформация внутри пирамидального включения имела только одну ненулевую компоненту $\epsilon_{xx}^{(0)} > 0$.

Этот расчет можно рассматривать как численный тест корректности полученных в данной работе аналитических результатов. Действительно, мы проверили, что найденные величины $\mathbf{u}(\mathbf{r})$, $\epsilon_{ij}(\mathbf{r})$ и $\sigma_{ij}(\mathbf{r})$ обладают следующими свойствами: (i) они стремятся к нулю при $|\mathbf{r}| \rightarrow \infty$; (ii) функция $\mathbf{u}(\mathbf{r})$ непрерывна на границе включения (рис. 3, *b*); (iii) ϵ_{ij} выражается через производные \mathbf{u} согласно (2); (iv) σ_{ij} и ϵ_{ij} связаны посредством закона Гука (4); (v) производные σ_{ij} удовлетворяют уравнению равновесия (3); (vi) компоненты тензора деформации σ_{ij} , ортогональные к какой-либо грани поверхности включения, непрерывны на этой грани — например, компоненты $\sigma_{xz} = 2\mu\epsilon_{xz}$ (рис. 3, *d*) и σ_{zz}

(рис. 3, *e*) на нижней грани. Эти свойства в совокупности гарантируют, что найденные нашим методом функции $\mathbf{u}(\mathbf{r})$, $\epsilon_{ij}(\mathbf{r})$ и $\sigma_{ij}(\mathbf{r})$ действительно являются решениями уравнений теории упругости.

4. Заключение

Полученные результаты можно подытожить следующим образом. Найден аналитические выражения для вектора смещения $\mathbf{u}(\mathbf{r})$ [формулы (8) и (30)], тензора деформации $\epsilon_{ij}(\mathbf{r})$ [формулы (9) и (33)] и тензора Эшелби $S_{ijkl}(\mathbf{r})$ [формулы (11) и (33)] в случае, когда включение в упруго-изотропной бесконечной среде имеет форму многогранника. Собственная деформация $\epsilon_{ij}^{(0)}$ (например, рассогласование кристаллических решеток) предполагается постоянной внутри включения, но не обязательно гидростатической. Найденные выражения

описывают деформацию как внутри включения, так и в его окружении. Константы $p_{ijkl}^{(\beta)}$, $q_{ijk}^{(\gamma)}$, $v_{ijklmn}^{(\beta)}$, $w_{ijklm}^{(\gamma)}$, входящие в эти формулы, определяются ориентацией граней и ребер поверхности включения согласно (31), (32), (34) и (35). Сложная трехмерная конфигурация поля упругой деформации (а также вектора смещения) сводится к комбинации простых функций Ω_α , L_β и Λ_β , имеющих наглядную физическую и геометрическую интерпретацию. Следует заметить, что в случае гидростатической собственной деформации ($\varepsilon_{ij}^{(0)} \propto \delta_{ij}$) выражения для $\mathbf{u}(\mathbf{r})$ и $\varepsilon_{ij}(\mathbf{r})$ значительно упрощаются и приобретают вид, рассмотренный в статьях [21,5].

Работа профинансирована Российским научным фондом (грант 14-12-00931 П).

Список литературы

- [1] J.D. Eshelby. Proc. Roy. Soc. London A **241**, 376 (1957).
- [2] T. Mura. *Micromechanics of Defects in Solids*. Springer (1987).
- [3] I.A. Ovid'ko, A.G. Sheinerman. Rev. Adv. Mater. Sci. **9**, 17 (2005).
- [4] B.N. Kuvshinov. Int. J. Solids Structures **45**, 1352 (2008).
- [5] A.V. Nenashev, A.V. Dvurechenskii. J. Appl. Phys. **121**, 125102 (2017).
- [6] C. Pan, Q. Yu. Int. J. Mech. Sci. **126**, 142 (2017).
- [7] M. Grundmann, O. Stier, D. Bimberg. Phys. Rev. B **52**, 11969 (1995).
- [8] C. Pryor. Phys. Rev. B **57**, 7190 (1998).
- [9] O. Stier, M. Grundmann, D. Bimberg. Phys. Rev. B **59**, 5688 (1999).
- [10] A.V. Dvurechenskii, A.V. Nenashev, A.I. Yakimov. Nanotechnology **13**, 75 (2002).
- [11] Г.Л. Бир, Г.Е. Пикус. Симметрия и деформационные эффекты в полупроводниках. Наука, М. (1972).
- [12] C.G. Van de Walle. Phys. Rev. B **39**, 1871 (1989).
- [13] A.F. Zinovieva, A.I. Nikiforov, V.A. Timofeev, A.V. Nenashev, A.V. Dvurechenskii, L.V. Kulik. Phys. Rev. B **88**, 235308 (2013).
- [14] H.J. Chu, E. Pan, J.J. Ramsey, J. Wang, C.X. Xue. Int. J. Solids Structures **48**, 673 (2011).
- [15] L. Ma, A.M. Korsunsky. Int. J. Solids Structures **51**, 4477 (2014).
- [16] G.J. Rodin. J. Mech. Phys. Solids **44**, 1977 (1996).
- [17] H. Nozaki, M. Taya. J. Appl. Mech. **68**, 441 (2000).
- [18] P. Offermans, P.M. Koenraad, J.H. Wolter, K. Pierz, M. Roy, P.A. Maksym. Phys. Rev. B **72**, 165332 (2005).
- [19] M. Stoffel, A. Malachias, A. Rastelli, T.H. Metzger, O.G. Schmidt. Appl. Phys. Lett. **94**, 253114 (2009).
- [20] A. Picco, E. Bonera, F. Pezzoli, E. Grilli, O.G. Schmidt, F. Isa, S. Cecchi, M. Guzzi. Nanoscale Res. Lett. **7**, 633 (2012).
- [21] A.V. Nenashev, A.V. Dvurechenskii. J. Appl. Phys. **107**, 064322 (2010).
- [22] И.Е. Тамм. Основы теории электричества. Наука, М. (1976).
- [23] A. Van Oosterom, J. Strackee. IEEE Transact. Biomed. Eng. **BME-30**, 125 (1983).
- [24] R.A. Werner, D.J. Scheeres. Celestial Mech. Dynam. Astronomy **65**, 313 (1996).
- [25] A.V. Nenashev, A.V. Dvurechenskii. arXiv:0707.2183 (2007).

Редактор Т.Н. Василевская